

بررسی ناحیه متغیرانتهای<sup>۳</sup> ژن cag A در سویه های هلیکوباتر پیلوری جداسازی شده از بیماران دچار التهاب معده

لیلا شکرزاده<sup>۱</sup>، کاوه بقایی<sup>۱</sup>، الهه تاج الدین<sup>۱</sup>، فرشته جعفری<sup>۲</sup>، حسین دبیری<sup>۲</sup>، سارا صیادی<sup>۲</sup>، محمدرضا زالی<sup>۳</sup>

۱. کارشناس ارشد زیست شناسی گرایش میکروبیولوژی مرکز تحقیقات بیماری های گوارش و کبد دانشگاه علوم پزشکی شهید بهشتی، دایره بیماریهای ناشی از غذا و اسهال های مزمن
  ۲. دکترای تخصصی میکروبیولوژی مرکز تحقیقات بیماری های گوارش و کبد دانشگاه علوم پزشکی شهید بهشتی، دایره بیماری های ناشی از غذا و اسهال های مزمن
  ۳. فوق تخصص بیماریهای گوارش، استاد دانشگاه علوم پزشکی شهید بهشتی، مرکز تحقیقات بیماریهای گوارش و کبد

\*نشانی برای مکاتبه: تهران، ولنجک، خیابان مهن، خیابان تابناک، دانشگاه علوم پزشکی شهید بهشتی، مرکز تحقیقات گوارش و کبد.

تلفن: ۰۲۱۲۲۴۳۲۵۱۸، فاکس: ۰۲۱۲۲۴۳۲۵۱۷، نمایر: shokrzadeh@gmail.com

درباره مقاله: خرداد هشتاد و نه پذیرش برای چاپ: مرداد هشتاد و نه

چکیدہ

**سابقه و هدف:** هلیکوپتر پیلوری در پیشرفت سرطان معده و زخم معده شرکت دارد. مهمترین فاکتور بیماری زایی محصول ژن *cagA* می باشد که بعد از انتقال به سلول های اپیتلیال معده در سطح درونی غشای پلاسمایی جمع شده و تیروزینی که روی -*Glu Pro-Ile-Tyr-Ala*(EPIYA) قرار دارد، فسفریله می کند. گزارش شده است، چهار قطعه موتیف های EPIYA شامل C-D-B-A در نقش مهمی در بیماری های گوارشی دارند. هدف از این مطالعه بررسی نقش موتیف های EPIYA در بیماری های گوارشی، در جمیعت ایرانی است.

روش کار: ۹۲ بیمار ایرانی سوء هاضمه *cagA* مثبت شامل: زخم های گوارشی (۱۱ نفر)، سرطان معده (۴ نفر) و بدون زخم (۷۷ نفر) بررسی شدند. ژنتیک موتیف *EPIYA* با واکنش زنجیره ای پلیمراز (*PCR*) و تعیین توالی مشخص شد. یافته ها: ۱۶ سویه (۹۳٪) ۳ نسخه از *EPIYA* (نوع C، A, B, C)، ۳ سویه (۳٪) ۴ نسخه (نوع ABCC) و ۳ کپی (نوع AB) بود. تعیین توالی نشان داد که هیچ نوع سوشن *DEPIYA-D* در جمعیت ایرانی وجود نداشت.

نتیجه‌گیری: ساختمان انتهایی ۳ ژن *cagA* در سویه های ایرانی مشابه سویه های غربی بود. همچنین در این مطالعه رابطه ای بین انواع *EPIYA* و نتایج بالینی پیدا نشد. شیوع کم با چندین سویه *EPIYA-C* ممکن است دلیل برخی سلطان، معده در ایران باشد.

**EPIYA cagA** واژگان کلیدی: هلیکوپاکتر پیلوئی،

مقدمه

معده میزبان انتقال داده می شود(۱۱-۷). به محض ورود پروتئین CagA تیروزینی که روی موتیف های Glu-Pro-Ile-Tyr-Ala(EPIYA) قرار دارد، فسفیریله شده و با انواع مولکول های هدف وارد میانکنش می شود. مطالعه روی SH2 (Src homology 2) سیتوپلاسمی دمین (SHP-2) نشان داده است که جهش هایی از SHP2 در بدخیمی های مختلف انسانی و تغییر سیگنالینگ 2 در پیشرفت آدنوکارسینوم معده و در بروز سرطان معده دخالت دارد(۱۲). بنابراین تصور می شود، موتیف های EPIYA در ژن cagA در سیگنال های مربوط به SHP-2 - CagA - سلول های اپیتلیال معده میزبان نقش مهمی داشته باشند(۱۳).

عفونت هلیکوباکتر پیلوری عامل اصلی التهاب مزمن معده ، بیماری رخم معده و مخاط مرتبط با بافت های لنفوسم لغاوی شناخته شده است و همچنین عامل خطر برای توسعه سرطان معده است (۱،۲). تنوغ ژنتیکی هلیکوباکتر پیلوری بیش از سایر باکتری ها است و همچنین چندین عامل بیماری زا ، مانند *cagA* و *vacA* ، می تواند به عنوان عامل پیشگیری ابتلای به بیماری مورد استفاده قرار گیرند(۳-۵). ژن *cagA* در انتهایی یک قطعه ۴۰ کیلوبازی به نام جزیره بیماری زایی (*cag*) قرار گرفته است (۶) که سیستم ترشحی نوع IV را کد می کند و از طریق آن پروتئین *CagA* به سلول های اپیتلیالی

در جار با شرایط ۱۰٪ O<sub>2</sub> و ۸۵٪ N<sub>2</sub> در انکوباتور ۳۷ درجه سانتی گراد قرار داده شدند. هلیکوباتر پیلوئی توسط رنگ آمیزی گرم ، مورفولوژی کلنی ، اکسیداز، اوره و کاتالاز مثبت شناخته شدند. ژنوم DNA هلیکوباتر پیلوئی با کیت QIAamp استخراج شد برای تایید وجود ژنوم DNA هلیکوباتر پیلوئی از جفت پرایمر زن glmM ۵'-GATAAGCTTTAGGGTGTAGGGG-3' و ۲۹۶ ۳'-GCTTACTTCTAACACTAACGC-3' جفت بازی را کد می کند، استفاده شد(۳۰). برای تشخیص وجود زن cagA نیز پرایمرهای cagA ۵'-AACAGGACAAGTAGCTAGCC-3' و ۵'-TATTAATGCGTGTGGCTG-3' و ۳'-GATCTTGAGCTGTCTATCG-3'(۳۲) استفاده شد(۳۲).

حجم PCR در این مطالعه ۲۵ ماکروولتر که شامل ۵۰۰ ماکرومول بالف X ۱۰ ، ۲ میکرومول در لیتر MgCl<sub>2</sub> ۲۰۰ میکرومولار ۱.۵ dNTP در واحد آنزیم DNA پلیمراز و ۲۰۰ نانوگرم DNA بود. PCR در ترموسایکلر تحت شرایط زیر قرار انجام شد: ۵ دقیقه در دمای ۹۴ °C و سپس ۳۰ سیکل شامل: ۹۳ °C به مدت ۱ دقیقه، ۵۸ °C به مدت ۳۰ ثانیه، ۷۲ °C به مدت ۱ دقیقه و تکثیر نهایی ۷۲ درجه سانتی گراد به مدت ۱۰ دقیقه . محصولات PCR بدست آمده راروی ۷٪ /۱۲٪ الکتروفورز شدند.

هلیکوباتر پیلوئی ۲۶۶۹۵ به عنوان شاهد مورد استفاده قرار گرفت. تخلیص محصولات واکنش زنجیره ای پلیمراز منطقه متغیر انتهای ۳' زن cagA با استفاده از کیت QIA صورت گرفت. BigDye تخلیص محصولات واکنش زنجیره ای پلیمراز از نوکلوتیدها با استفاده از نرم افزار BioEdit انجام شد. سپس با توالی ژن cagA گونه های هلیکوباتر پیلوئی 26695 که قبلا در GenBank ثبت شده است مقایسه شدند. تجزیه و تحلیل آماری با نرم افزار SPSS انجام شد. داده های بدست آمده با استفاده از آزمون t و آزمون فیشر مورد تجزیه و تحلیل قرار گرفتند. اگر p کوچکتر از ۰.۰۵ بود نتیجه معنی دار در نظر گرفته شد.

### یافته ها

از ۱۹۰ نفر، (۱۴۱/۷۴٪) به هلیکوباتر پیلوئی آلوده بودند که سویه (۷۳/۶٪) ژن cagA داشتند از جمله ۷۷ (۵۵/۴٪) سویه از ۱۲۱ بیمار NUD (۶۸/۸٪) از ۱۶ بیمار مبتلا به زخم گوارشی و ۴ بیمار مبتلا به سرطان معده، آلوده به هلیکوباتر پیلوئی با ژنوتیپ cagA مثبت بودند. تفاوت معنی دار آماری در ژن cagA مثبت ، سن و جنسیت در میان بیماری های مختلف وجود نداشت. از میان ۹۲ سویه از cagA با روش PCR نوع EPIYA نشان داد که ۸۶ سویه (۹۳/۵٪) ۳ نسخه از (A,B,C) EPIYA نوع (ABCC) ۳ سویه (۲/۳٪) ۴ نسخه (AB) و ۳ سویه (۳/۳٪) ۲ کمی (AB) داشتند (جدول ۱). هیچ سویه DEPIYA-D در جمعیت ایرانی مشاهده نشد. میانگین سنی بیماران مبتلا به نوع سویه ABCC بالاتر از انواع دیگر بود. cagA مثبت جدا شده تکثیر شد. از ۸۹ موارد شناسایی شده ۸۶ سویه یک باند و ۳ سویه دو باند مشاهده شد. در مقایسه اندازه محصولات PCR یک باند با دو باند این سه سویه در گروه ABCC (۲ سویه) و گروه AB (۱ سویه) طبقه بندی شدند (شکل ۱).

تفیراتی در منطقه انتهای ۳' زن cagA وجود دارد که بین گونه های هلیکوباتر پیلوئی کشورهای آسیای غربی و شرقی متفاوت است(۱۶،۱۵،۴). سویه های آسیای غربی و شرقی ۲ منطقه تکراری دارند: اولین منطقه تکراری ۵۷ جفت باز و دومین منطقه تکراری ۱۰۲ جفت باز و ۱۶۲ جفت باز است(۴). اولین و دومین مناطق تکراری، موتیف های EPIYA را شامل می شود. اخیرا ، طبقه بندی دیگری با توجه به چهار C، -D، -B، -EPIYA-A می باشدند(۱۸،۱۷) آسیا غربی و شرقی و مشابه با اولین منطقه تکراری است؛ در حالی که EPIYA-C مختص گونه های غربی و EPIYA-D مختص گونه های آسیا شرقی است. در تعیین توالی CagA مشخص شده است که حاوی قطعات تکراری EPIYA در هر دو بخش آسیا شرقی و مشابه با اولین منطقه تکراری است؛ در حالی که EPIYA و نوع توالی EPIYA بعد از این موتیف به شکل D<sub>n</sub>, C<sub>n</sub>, B<sub>n</sub>, A<sub>n</sub> نوع CagA، EPIYA-D و EPIYA-C آسیا شرقی فعالیت قوی تر برای اتصال ۲ SHP - و توانایی بیشتری برای القاء تغییرات مورفولوژی در سلول های اپیتلیال معده در مقایسه با نوع EPIYA به ویژه دو موتیف به شکل SHP2 و فسفربیله کردن CagA نقش دارند(۲۱،۲۰). همچنین تکرار قطعات EPIYA خطر بروز سرطان معده افزایش می دهد(۲۳،۲۲،۲۰،۵،۴).

ایران در شرق میانه بین کشورهای اروپا و آسیای شرقی قرار گرفته است ، و روابط اقتصادی و فرهنگی با هر دو کشور دارد. اگر چه الگوی شیوع ژنوتیپ vacA در ایران مشابه کشورهای اروپایی است. تاکنون در مورد تشابه توالی cagA EPIYA زن می باشد. بر اساس تعادل EPIYA و نامگذاری شده است. بر بعد از این موتیف به شکل SHP2 و فسفربیله کردن CagA نقش اساس تفاوت های ساختاری EPIYA-D و EPIYA-C آسیا شرقی از قطعات SHP و توانایی بیشتری برای القاء تغییرات مورفولوژی در سلول های اپیتلیال معده در مقایسه با نوع EPIYA به ویژه دو موتیف به شکل SHP2 و فسفربیله کردن CagA نقش دارند(۲۱،۲۰). همچنین تکرار قطعات EPIYA خطر بروز سرطان معده افزایش می دهد(۲۳،۲۲،۲۰،۵،۴).

ایران در شرق میانه بین کشورهای اروپا و آسیای شرقی قرار گرفته است ،

و روابط اقتصادی و فرهنگی با هر دو کشور دارد. اگر چه الگوی شیوع ژنوتیپ vacA در ایران مشابه کشورهای اروپایی است. تاکنون در مورد

تشابه توالی cagA EPIYA زن می باشد. بر اساس تعادل EPIYA و نامگذاری شده است. بر بعد از این موتیف به شکل SHP2 و فسفربیله کردن CagA نقش

تعداد و نوع قطعات EPIYA در گونه های ایرانی با بیماری های معده

مطالعات زیادی صورت نگرفته است(۲۸،۲۹).

در حال حاضر ، تنها دو مطالعه روی EPIYA در ایران انجام شده است. اما در هیچ یک از

مطالعات انجام شده تعیین توالی مناطق تکراری و اینکه سویه های ایرانی

طبق تقسیمات EPIYA جزء سویه های آسیای شرقی و غربی است

صورت نگرفته است(۲۹).

بنابراین ، هدف از این مطالعه تاییین منطقه

متغیر انتهای ۳' زن cagA هلیکوباتر پیلوئی سویه های ایرانی با استفاده از واکنش زنجیره ای پلیمراز (PCR) و تعیین توالی EPIYA می باشد.

### روش کار

۱۹۰ بیمار با ملیت ایرانی ( ۸۱ مرد و ۱۰۹ زن ) با متوسط سن ۴۵/۴±۱/۶ سال وارد مطالعه شدند. این بیماران با علائم سوء هاضمه در بیمارستان طالقانی تهران اندوسکوپی شدند. در تشخیص اندوسکوپی بیماران به سه دسته : زخم های گوارشی ، سرطان معده و سوء هاضمه بدون زخم (NUD) گروه بندی شدند. بیماران NUD هیچ ضایعات اندوسکوپیک از زخم و یا بدخیمی نداشتند. پس از اندوسکوپی ، نمونه های PCR بیوپسی آنترم معده برای وجود هلیکوباتر پیلوئی توسط کشت و مورد بررسی قرار گرفتند. این مطالعه توسط کمیته اخلاقی دانشگاه شهرد بهشتی به تصویب رسید و از کلیه شرکت کنندگان در مطالعه رضایت نامه ای اخذ شد. از هر فرد، دو نمونه بیوپسی گرفته شد و در محیط تیوگلیکولات حاوی ۱/۳ گرم در لیتر آگار و ۳٪ عصاره مخمر به آزمایشگاه انتقال یافت. نمونه های بیوپسی معده در آگار با ۱۰٪ خون گوسفند کشت داده شدند. سپس محیط کشت ها به مدت ۵-۳ روز

روش EPIYA typing در AB)EPIYA-AB/ABCC ردیف EPIYA-ABCC. ۱۱

جدول ۱. تنوع *cagA* با توجه به ژنوتیپ موتیف های EPIYA در ایزوله های کلینیکی *cagA* مثبت

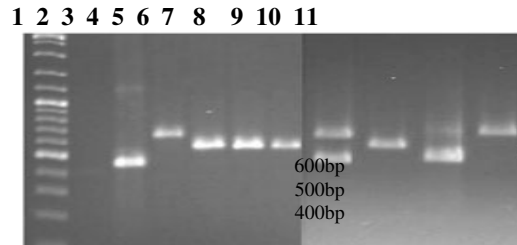
زنوتیپ موتیف EPIYA	تعداد	سن	PUD	NUD	GC
AB	۳	۴۱/۷±۲/۷	۰	۳	۰
ABC	۸۶	۴۵/۳±۱/۷	۱۰	۷۳	۳
ABCC	۳	۵۳/۳±۹/۹	۱	۱	۱

GC: سلطان گاستریت، NUD: بد هضمی بدون زخم، PUD: بیماری های: خم معده

26695	NGLSGIEATALAKNFSIDKKELEKFKNFNN-NNNGLKNSTEPI- <b>A</b> YVNNKKKTGQVASPE
HPI-1	NGLSQAEEATLSKNFSIDKKELEKFKNFNN-NNNGLKN-EPYAYVNNKKKGAGQVASPE
HPI-2	NGLSQAEEATLSKNFSIDKKELEKFKNFNNNNNGLKN-EPYAYVNNKKVGQVASPE
HPI-3	NGLSQAEEATLSKNFSIDKKELEKFKNFNNNNNGLKN-EPYAYVNNKKTGQASPE
HPI-4	NGLSQAEEATLSKNFSIDKKELEKFKNFNNNNNGLKN-EPYAYVNNKKTGQASLE
HPI-5	NGLSQAEEATLSKNFSIDKKELEKFKNFNNNNNNNGLKN-EPYAYVNNKKTGQAVSLE
HPI-6	NGLSQAEEATLSKNFSIDKKELEKFKNFNNNNNGLKN-EPYAYVNNKKKGAGQASLE
HPI-7	NGLSQAEEATLSKNFSIDKKELEKFKNFNNNNNNNGLEN-EPYAYVNNKKKGAGQASPE
HPI-8	NGLSQAEEATLSKNFSIDKKELEKFKNFNNNNNNNGLKN-EPYAYVNNKKKGAGQASPE
HPI-9	NGLSQAEEATLSKNFSIDKKELEKFKNFNNNNNNNGLKNSTEPI- <b>A</b> YVNNKKKGAGQASPE
HPI-10	NGLSGIEATALKNSIDKKELEKFKNFNNNNNNNGLKN-EPYAYVNNKKKGAGQASPE
HPI-11	NGLSQAEEATLSKNFSIDKKELENGKFKNFNNNNNNNGLKN-EPYAYVNNKKKGAGQASLE
HPI-12	NGLSQAEEATLSKNFSIDKKELENGKFKNFNNNNNNNGLKN-EPYAYVNNKKKGAGQASLE
HPI-13	NGLSQAEEATLSKNFSIDKKELEKFKNFNNNNNNNGLKN-EPYAYVNNKKKGAGQASPE
HPI-14	NGI SOFAATT SKNFNSIDKKELEKFKNFNNNNNNNGI KN-EPYAYVNNKKKGAGQASPE

26695	EPIYIQ <b>B</b> KKVNAKIDRLNQIAISGLGGVGQAAGFPLKRHKDVDDLSKVGLSASHEPIYAT
HPI-1	EPIYAC <b>B</b> KKVNAKIDRLNQIAASGLGGANQAG-FPLKRHKDVDDLSKVGLSASHEPIYAT
HPI-2	EPIYAQVKVNAKIDQLNQIAASGLGGVGQAAGFPLKRHKDVDDLSKVGLSASHEPIYAT
HPI-3	EPIYAQVKVNAKIDRLNQIAISGLGGVGQAATGFPKLKRHKDVDDLSKVGLSASHEPIYAT
HPI-4	EPIYAQVKVNAKIDRLNQIAISGLGGVGQAAGFPLKRHKDVDDLSKVGRVSPEPIYAT
HPI-5	EPIYAQVKVNAKIDQLNQIAISGLGGVGQAAGFPLKRHKDVDDLSKVGLSASHEPIYAT
HPI-6	EPIYAQVKVNAKIDRLNQIAISGLGGVGQAAGFPLKRHKDVDDLSKVGLSASHEPIYAT
HPI-7	EPIYTPQVKVNAKIDRLNQIAISGLGGVGQAAGFPLKRHKDVDDLSKVGLSASHEPIYAT
HPI-8	EPIYAQVKVNAKIDRLNQVAISGLGGVGQAAGFPLKRHKDVDDLSKVGRVSPEPIYAT
HPI-9	EPIYAQVKVNAKIERXNQIAASGLGGVGQAAGFPLKRHKDVDDLSKVGRVSPEPIYAT
HPI-10	EPIYTPQVKVKAIDQKSSKKWFWCRA-----S
HPI-11	EPIYTPQVKVTKIDRLNQIAISGLGGVGQAAGFPLKRHKDVDDLSKVGRVSPEPIYAT
HPI-12	EPIYTPQVKVTKIDRLNQIAISGLGGVGQAAGFPLKRHKDVDDLSKVGRVSPEPIYAT
HPI-13	EPIYTPQVKVNAKIDRLNQIAISGLGGVGQAAGFPLKRHKDVDDLSKVGLSASPEPIYAT
HPI-14	EPIYTPQVKVNAKIDRLNQIAISGLGGVGQAAGFPLKRHKDVDDLSKVGRVSPEPIYAT

6695	IDDLG-----	-GPFFPLKRHDKVDDLSKVGLSR
HPI-1	IDDLG-----	-GPFFPLKRHDKVDDLSKVGLSR
HPI-2	IDDLG-----	-GPFFPLKRHDKVDDLSKVGLSR
HPI-3	IDDLG-----	-GPFFPLKRHDKVDDLSKVGLSR
HPI-4	IDDLG-----	-GPFFPLKRHDKVDDLSKVGLSR
HPI-5	IDDLG-----	-GPFFPLKRHDKVDDLSKVGLSR
HPI-6	IDDLG-----	-GPFFPLKGYDKVDDLSKVGLSR
HPI-7	IDDLG-----	-GPFFPLKRHSKVDDLSKVGLSR
HPI-8	IDDLG-----	-GPFFPLKRHDKVDDLSKVGLSR
HPI-9	IDDLG-----	-GPFFPLKRHDKVEDLSKVGLSR
HPI-10	VDDLG-----	-GPFFPLKRHDKVDDLSKVGLSR
HPI-11	IDDLGGPFPLKRHDKVDDLSKVGLSRVSPEPIATIDDLG	-GPFFPLKRHDKVDDLSKVGLSR
HPI-12	IDDLG-----	-GPFFPLKRHDKVDDLSKVGLSR
HPI-13	IDDLG-----	-GPFFPLKRHDKVDDLSKVGLSR
HPI-14	IDDLG-----	-GPFFPLKRHDKVDDLSKVGLSR



شکل ۱. محصول واکنش زنجیره ای پلیمرازناییه انتهای متغیر<sup>۳</sup> می باشد. ردیف ۱، ladder mix ، ردیف ۲، کنترل منفی، ردیف ۳ EPIYA-ABCC ، ردیف ۴ EPIYA\_AB ، ردیف ۵ EPIYA-ABC<sub>۶</sub> ، ردیف ۷ Helicobacter pylori 26695 ، ردیف ۸ EPIYA-ABC<sub>۹</sub> در EPIYA-AB/ABCC ABCC) ، ردیف ۱۰ (EPIYA-ABC<sub>۱۰</sub>) روش EPIYA Typing ) ردیف ۹ EPIYA-ABC<sub>۹</sub> ، ردیف ۱۰ EPIYA Typing

برای EPIYA-B، EPIYA-C و EPIY(A/T)(Q/K)VAKKVNAKI مشاهده نشد. اطلاعات توالی، نوکلئوتید در Bank (EPIYATIDFDEANQAG) و باشد caga ۳ می EPIYA-ABC، ردیف ۶ EPIYA-ABCC، ردیف ۷ (EPIYA-ABC، ردیف ۶ EPIYA-ABCC)، ردیف ۹ EPIYA-ABC، ردیف ۱۰ EPIYA AB/ABCC، ردیف ۱۱ EPIYA Typing برای مقایسه و دستیابی به اطلاعات بیشتر منطقه متغیر انتهايی ۳' زن در جم NUD ۵ سویه از بیمار زخم معده و ۴ سویه از بیماران مبتلا به سرطان انتخاب شکل ۱. محصول واکنش زنجیره ای پلیمرازنایحه انتهايی متغیر ۳' caga می باشد

با افزایش سن سطح اسید کاهش و تعداد بیشتری از این سویه‌ها قابل شناسایی می‌شوند(۵). با توجه به مطالعه حاضر و مطالعات اخیر(۲۸) در ایران رابطه‌ای بین انواع EPIYA و نتایج بالینی پیدا نشده است. این ممکن است به دلیل تعداد کم بیمار در هر دو مطالعه باشد. احتمال دیگر این است که این به علت عدم سالم بودن PAI در گونه‌های ایرانی باشد. اخیراً در ایران ۶۲/۳ درصد حذف بخشی از PAI گزارش شده است(۳۷) که ممکن است نقشی در عملکرد سیستم ترشح چهارم نداشته باشد. شیوع نسبی CagA در سویه‌های ایرانی بسیار بالاتر از مناطق دیگر است(۳۸،۳۹). امید است در آینده مطالعات بیشتری روی مناطق تکراری در رابطه با سیستم ترشح نوع چهارم انجام شود.

در بررسی حاضر برای اولین بار تعیین توالی منطقه تکراری cagA در سویه‌های ایرانی انجام شد. در مطالعات قبلی، عدم وجود مناطق متغیر برای تعیین توالی دلیلی بر گونه‌های cagA منفی بود(۴۰). در حالی که در این مطالعه سه مورد با سویه‌های cagA مثبت تکثیر نشدن. از آنجا که مناطق cagA متغیر هستند باید چند جفت پرایمر به شناسایی مناطق، برای تایپینگ و تعیین توالی استفاده شود. یکی از مزایای تعیین توالی این است که حتی یک چهش اسید آمینه غیر ممکن تشخیص داده می‌شود. همانطور که در بالا ذکر شد، تفاوت‌های مهم بین EPIYA-C و EPIYA-D تنها تفاوت یک اسید آمینه است(یعنی EPIYATIDF و EPIYATIDD)؛ این شامل EPIYA-D و EPIYATIDD است. تفاوت تایپینگ بر اساس سیستم‌های PCR تشخیص داده نمی‌شود.

خوشبختانه در این بررسی هیچ موردی EPIYA-D مشاهده نشد. تعیین توالی نشان داد که در مواردی از EPIYA-B، توالی EPIYT وجود EPIYA-C و EPIYA-A، توالی EPIYA داشت. همه موارد در EPIYA-C بودند. به نظر می‌رسد تفاوتی بین توانایی اتصال 2 SHP بین EPIYA-C و EPIYATIDF وجود ندارد. تفاوت بین EPIYA و EPIYT در EPIYA-B اتفاق ناشاخته است. به هر حال، تعیین توالی اطلاعات بیشتری از تایپینگ بر اساس PCR به تنهایی ارائه می‌دهد. بنابراین، برای شناسایی نقش مناطق EPIYA در پاتوژن معده با استفاده از تعیین توالی، مطالعات گسترده‌ای با تعداد سویه‌های ایرانی بیشتری ضروری خواهد بود.

## بحث

CagA پروتئین بسیار ایمونوژنیک با وزن مولکولی بین ۱۲۰۰۰۰ تا ۱۴۰۰۰۰ می‌باشد(۳۴،۳۳). تنوع در اندازه CagA به علت تعداد متغیر توالی تکراری EPIYA در منطقه متغیر انتهایی<sup>۳</sup> است(۳۳،۱۵،۵،۴). دو جایگاه اتصال Csk بخش EPIYA-B و EPIYA-A و همچنین جایگاه اتصال SHP-2 در CagA ایزوله‌های غرب و آسیا شرقی به ترتیب بخش EPIYA-D و EPIYA-C تعیین شده است(۳۶،۳۵،۲۱،۱۷). بنابراین، فعالیت قوی تر SHP-2 (pY-[V/T/A/I/S]-X-[F/W]) متنصل می‌شود(۳۵). بنابراین، SHP-2 برای اتصال نوع آسیای شرقی نسبت به CagA نوع غربی گزارش شده است(۳۵). در مطالعه حاضر، هیچ سویه EPIYA-D مشاهده نشده. همچنین در بررسی‌های گذشته در ایران وجود این سویه گزارش نشده است(۲۸). همچنین در بررسی ما لگوی شیوع زنوتایپ vacAs در ایران نیز مشابه کشورهای اروپایی بود. فقدان CagA نوع ABD ممکن است دلیلی برای کاهش بروز سلطان معده در ایران باشد. در کشورهای غربی، شواهدی وجود دارد که تعدادی از انواع EPIYA-C در توسعه بیماری معده نقش دارد(۲۳،۲۰،۵). در مطالعات گذشته(۲۸) و بررسی حاضر نقشی برای EPIYA-C در توسعه بیماری معده پیدا نکردند. بروز سلطان معده در کشورهای غربی نیز متغیر و در کلمبیا و ایتالیا نسبتاً بالا است. شیوع سویه‌های با بیش از یک تکرار ABCC (ABCC ۵/۱/۱) در درصد ۳۳/۳ درصد گزارش (Mثل ABCC) در کلمبیا در توسعه بیماری معده در ایتالیا(۲۸) شده(۵) که بسیار بالاتر نسبت به مطالعه حاضر(۳/۳) است. همچنین شیوع سویه‌های با تعداد گذشته در ایران (۱۲٪) بوده است. همچنین شیوع سویه‌های با تعداد متعدد EPIYA-C در عراق گزارش نشده است(۲۸). به طور کلی، در این مطالعه تفاوتی بین انواع EPIYA و نتایج بالینی پیدا نشد. شیوع کم با چندین سویه EPIYA-C ممکن است در هر منطقه مورد مطالعه شیوع چندین سویه باشد. ممکن است در این مطالعه شیوع سویه‌های با تعداد EPIYA-C نشانگر خوبی برای پیش‌بینی ابتلاء به سلطان معده باشد. مطلب جالب این است که میانگین سنی بیماران مبتلا به نوع سوش ABC بالاتر از انواع ABCC بود. بررسی‌ها نشان داده است که سویه‌های هلیکوباتر پیلوری با بخش‌های متعدد EPIYA در شرایط اسیدی بالا توسط کشت یا روش PCR قابل شناسایی نیستند تا زمانی که

## REFERENCES

1. Suerbaum S, Michetti P. Helicobacter pylori infection. N. Engl. J. Med. 2002; 347: 1175–86.
2. Uemura N, Okamoto S, Yamamoto S et al. Helicobacter pylori infection and the development of gastric cancer. N. Engl. J. Med. 2001; 345: 784–9.
3. Atherton JC, Cao P, Peek RM Jr et al. Mosaicism in vacuolating cytotoxin alleles of Helicobacter pylori. Association of specific vacA types with cytotoxin production and peptic ulceration. J. Biol. Chem. 1995; 270: 17771–7.

4. Yamaoka Y, Kodama T, Kashima K, Graham DY, Sepulveda AR. Variants of the 3'region of the cagA gene in *Helicobacter pylori* isolates from patients with different *H. pylori*-associated diseases. *J.Clin. Microbiol.* 1998; 36: 2258–63.
5. Yamaoka Y, El-Zimaity HM, Gutierrez O et al. Relationship between the cagA 3'repeat region of *Helicobacter pylori*, gastric histology, and susceptibility to low pH. *Gastroenterology* 1999; 117: 342–9.
6. Censini S, Lange C, Xiang Z et al. cag, a pathogenicity island of *Helicobacter pylori*, encodes type I-specific and diseaseassociated virulence factors. *Proc. Natl. Acad. Sci. USA* 1996; 93:14648–53.
7. Asahi M, Azuma T, Ito S et al. *Helicobacter pylori* CagA protein can be tyrosine phosphorylated in gastric epithelial cells. *J. Exp.Med.* 2000; 191: 593–602.
8. Backert S, Ziska E, Brinkmann V et al. Translocation of the *Helicobacter pylori* CagA protein in gastric epithelial cells by a type IV secretion apparatus. *Cell. Microbiol.* 2000; 2: 155–64.
9. Odenbreit S, Puls J, Sedlmaier B, Gerland E, Fischer W, Haas R. Translocation of *Helicobacter pylori* CagA into gastric epithelial cells by type IV secretion. *Science* 2000; 287: 1497–500.
10. Segal ED, Cha J, Lo J, Falkow S, Tompkins LS. Altered states: involvement of phosphorylated CagA in the induction of host cellular growth changes by *Helicobacter pylori*. *Proc. Natl Acad. Sci. USA* 1999; 96: 14559–64.
11. Stein M, Rappuoli R, Covacci A. Tyrosine phosphorylation of the *Helicobacter pylori* CagA antigen after cag-driven host cell translocation. *Proc. Natl. Acad. Sci. USA* 2000; 97: 1263–8.
12. Higashi H, Tsutsumi R, Muto S et al. SHP-2 tyrosine phosphatase as an intracellular target of *Helicobacter pylori* CagA protein. *Science* 2002; 295: 683–6.
13. Judd LM, Alderman BM, Howlett M et al. Gastric cancer development in mice lacking the SHP2 binding site on the IL-6 family co-receptor gp130. *Gastroenterology* 2004; 126: 196–207.
- 14 .Tebbutt NC, Giraud AS, Inglese M et al. Reciprocal regulation of gastrointestinal homeostasis by SHP2 and STAT-mediated trefoil gene activation in gp130 mutant mice. *Nat. Med.* 2002; 8: 1089–97.
15. Yamaoka Y, Osato MS, Sepulveda AR et al. Molecular epidemiology of *Helicobacter pylori*: separation of *H. pylori* from East Asian and non-Asian countries. *Epidemiol. Infect.* 2000; 124: 91–6.
16. Yamaoka Y, Orito E, Mizokami M et al. *Helicobacter pylori* in North and South America before Columbus. *FEBS Lett.* 2002; 517: 180–4.
- 17 .Hatakeyama M. Oncogenic mechanisms of the *Helicobacter pylori* CagA protein. *Nat. Rev. Cancer* 2004; 4: 688–94.
18. Hatakeyama M. The role of *Helicobacter pylori* CagA in gastric carcinogenesis. *Int. J. Hematol.* 2006; 84: 301–8.
19. Higashi H, Tsutsumi R, Fujita A et al. Biological activity of the *Helicobacter pylori* virulence factor CagA is determined by variation in the tyrosine phosphorylation sites. *Proc. Natl Acad. Sci. USA* 2002; 99: 14428–33.
20. Argent RH, Kidd M, Owen RJ, Thomas RJ, Limb MC, Atherton JC. Determinants and consequences of different levels of CagA phosphorylation for clinical isolates of *Helicobacter pylori*. *Gastroenterology* 2004; 127: 514–23.

21. Naito M, Yamazaki T, Tsutsumi R et al. Influence of EPIY: A-repeat polymorphism on the phosphorylation-dependent biological activity of *Helicobacter pylori* CagA. *Gastroenterology* 2006; 130: 1181–90.
22. Azuma T, Yamakawa A, Yamazaki S et al. Correlation between variation of the 3'region of the cagA gene in *Helicobacter pylori* and disease outcome in Japan. *J. Infect. Dis.* 2002; 186: 1621–30.
23. Basso D, Zambon CF, Letley DP et al. Clinical relevance of *Helicobacter pylori* cagA and vacA gene polymorphisms. *Gastroenterology* 2008; 135: 91–9.
24. Rhead JL, Letley DP, Mohammadi M et al. A new *Helicobacter pylori* vacuolating cytotoxin determinant, the intermediate region, is associated with gastric cancer. *Gastroenterology* 2007; 133: 926–36.
25. Kamali-Sarvestani E, Bazargani A, Masoudian M et al. A genotypes and IL-8 gene polymorphisms with clinical outcome of infection in Iranian patients with gastrointestinal diseases. *World J.Gastroenterol.* 2006; 12: 5205–10.
26. Siavoshi F, Malekzadeh R, Daneshmand M, Ashktorab H. *Helicobacter pylori* endemic and gastric disease. *Dig. Dis. Sci.* 2005; 50: 2075–80.
27. Mohammadi M, Oghalaie A, Mohajerani N et al. Prevalence of *Helicobacter pylori* vacuolating cytotoxin and its allelic mosaicism as a predictive marker for Iranian dyspeptic patients. *Bull. Soc. Pathol. Exot.* 2003; 96: 3–5.
28. Hussein NR, Mohammadi M, Talebkhan Y et al. Differences in virulence markers between *Helicobacter pylori* strains from Iraq and those from Iran: potential importance of regional differences in *H. pylori*-associated disease. *J. Clin. Microbiol.* 2008; 46: 1774–9.
29. Salehi Z, Jelodar MH, Rassa M, Ahaki M, Mollasalehi H, Mashayekhi F. *Helicobacter pylori* cagA status and peptic ulcer disease in Iran. *Dig. Dis. Sci.* 2009; 54: 608–13.
30. Kauser F, Hussain MA, Ahmed I et al. Comparative genomics of *Helicobacter pylori* isolates recovered from ulcer disease patients in England. *BMC Microbiol.* 2005; 5: 32.
31. Yamaoka Y, Kodama T, Gutierrez O, Kim JG, Kashima K, Graham DY. Relationship between *Helicobacter pylori* iceA, cagA, and vacA status and clinical outcome: studies in four different countries. *J. Clin. Microbiol.* 1999; 37: 2274–9.
32. Argent RH, Zhang Y, Atherton JC. Simple method for determination of the number of *Helicobacter pylori* CagA variable-region EPIYA tyrosine phosphorylation motifs by PCR. *J. Clin. Microbiol.* 2005; 43: 791–5.
33. Covacci A, Censini S, Bugnoli M et al. Molecular characterization of the 128-kDa immunodominant antigen of *Helicobacter pylori* associated with cytotoxicity and duodenal ulcer. *Proc. Natl. Acad. Sci. USA* 1993; 90: 5791–5.
34. Tummuru MK, Cover TL, Blaser MJ. Cloning and expression of a high-molecular-mass major antigen of *Helicobacter pylori*: evidence of linkage to cytotoxin production. *Infect. Immun.* 1993; 61:1799–809.
35. Higashi H, Yokoyama K, Fujii Y et al. EPIYA motif is a membrane-targeting signal of *Helicobacter pylori* virulence factor CagA in mammalian cells. *J. Biol. Chem.* 2005; 280: 23130–7.

36. Hatakeyama M. Helicobacter pylori CagA—a bacterial intruder conspiring gastric carcinogenesis. *Int. J. Cancer* 2006; 119: 1217–23.
37. Baghaei K, Shokrzadeh L, Jafari F et al. Determination of Helicobacter pylori virulence by analysis of the cag pathogenicity island isolated from Iranian patients. *Dig. Liver Dis.* 2009 (in press).
38. Hsu PI, Hwang IR, Cittelly D et al. Clinical presentation in relation to diversity within the Helicobacter pylori cag pathogenicity island. *Am. J. Gastroenterol.* 2002; 97: 2231–8.
39. Kauser F, Khan AA, Hussain MA et al. The cag pathogenicity island of Helicobacter pylori is disrupted in the majority of patient isolates from different human populations. *J. Clin. Microbiol.* 2004; 42:5302–8.
40. Panayotopoulou EG, Sgouras DN, Papadakos K et al. Strategy to characterize the number and type of repeating EPIYA phosphorylation motifs in the carboxyl terminus of CagA protein in Helicobacter pylori clinical isolates. *J. Clin. Microbiol.* 2007; 45: 488–95